



HAL
open science

Les modèles statistiques classiques d'analyse des données binaires, source de biais d'estimation importants?

Ugoline Godeau, Frédéric Gosselin

► To cite this version:

Ugoline Godeau, Frédéric Gosselin. Les modèles statistiques classiques d'analyse des données binaires, source de biais d'estimation importants?. Premières Journées Scientifiques Annuelles des sites INRAE du Loiret, Nov 2020, Orléans, France. hal-03080332

HAL Id: hal-03080332

<https://hal.inrae.fr/hal-03080332>

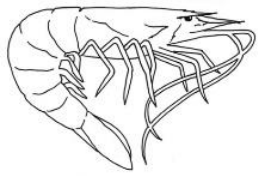
Submitted on 17 Dec 2020

HAL is a multi-disciplinary open access archive for the deposit and dissemination of scientific research documents, whether they are published or not. The documents may come from teaching and research institutions in France or abroad, or from public or private research centers.

L'archive ouverte pluridisciplinaire **HAL**, est destinée au dépôt et à la diffusion de documents scientifiques de niveau recherche, publiés ou non, émanant des établissements d'enseignement et de recherche français ou étrangers, des laboratoires publics ou privés.

Présentation donnée le 24/01/2020 en
visio aux

Premières Journées Scientifiques
Annuelles des sites INRAE du Loiret



GAMBAS



Les modèles statistiques classiques d'analyse des données binaires, source de biais d'estimation importants?

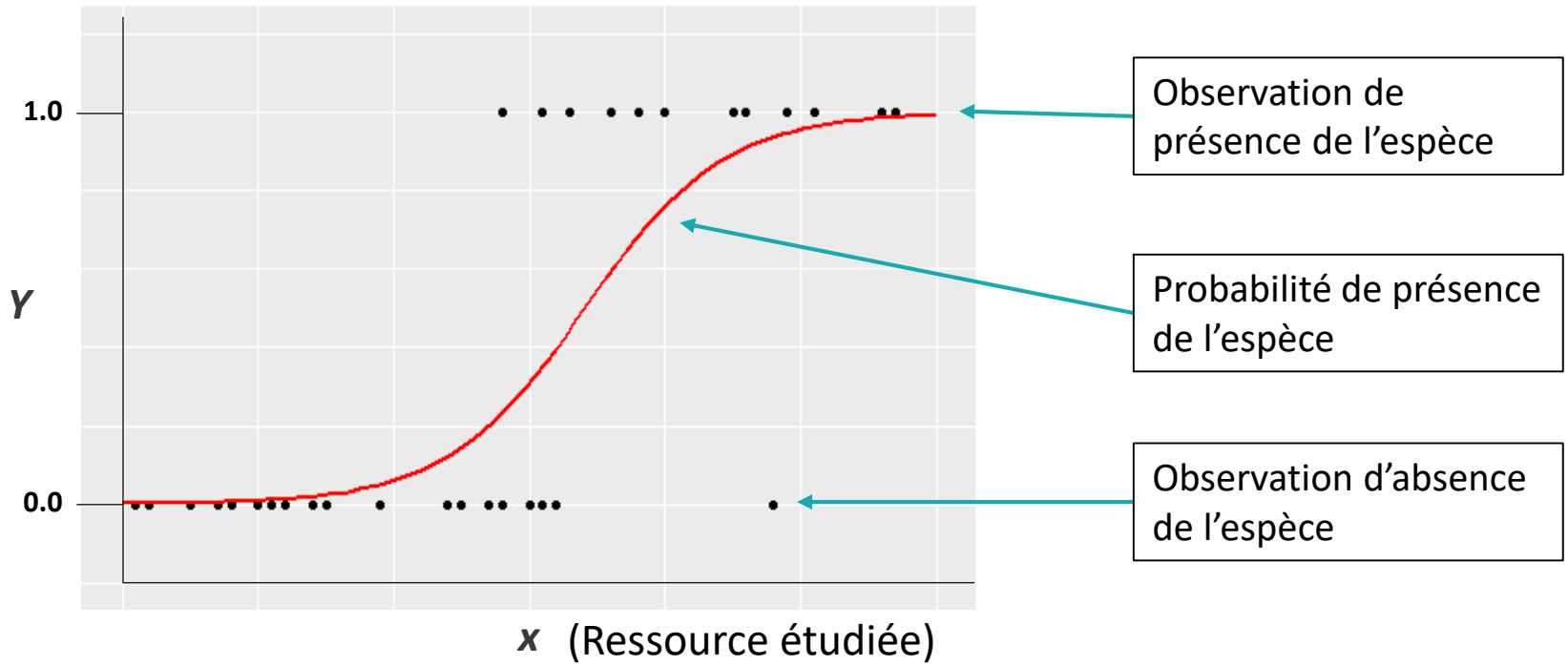
Ugoline Godeau & Frédéric Gosselin
INRAE - UR Ecosystèmes Forestiers (EFNO)
Domaine des Barres – Nogent-sur-Vernisson
godeau.ugoline@gmail.com & frederic.gosselin@inrae.fr

Données binaires

- Modélise Y (avec deux états) en fonction de X
- Y : Succès (1) ou échec (0)
- **Domaines d'application très variés, e.g. :**
 - Analyses de survie (physiologie, teste de traitement ...)
 - Présence absence (apparition d'agents pathogènes en épidémiologie, espèces en écologie, maladies en médecine, comportement en sociologie ou en éthologie...)

Données binaires : SDMs

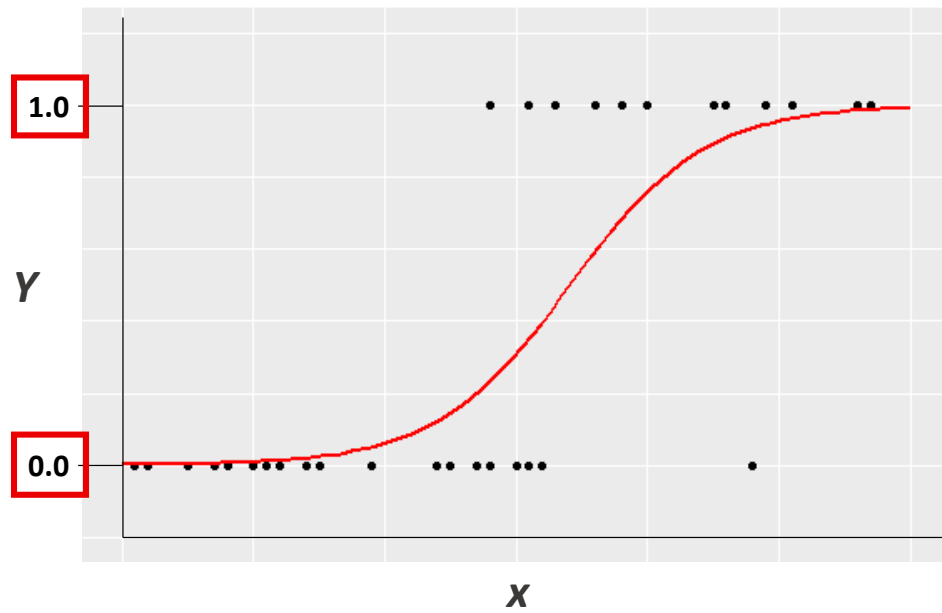
- Modélise la distribution d'une espèce dans l'espace (géographique ou écologique)
- Repose sur des données d'abondance ou **présence/absence**



Données binaires : modèle canonique: GLM

- Approche de référence: GLM avec distribution de Bernoulli
- Logit: Fonction de lien canonique → issue de l'extension du modèle linéaire (LM)
- Inverse logit → logistique classique
- Asymptote basse = 0
- Asymptote haute = 1

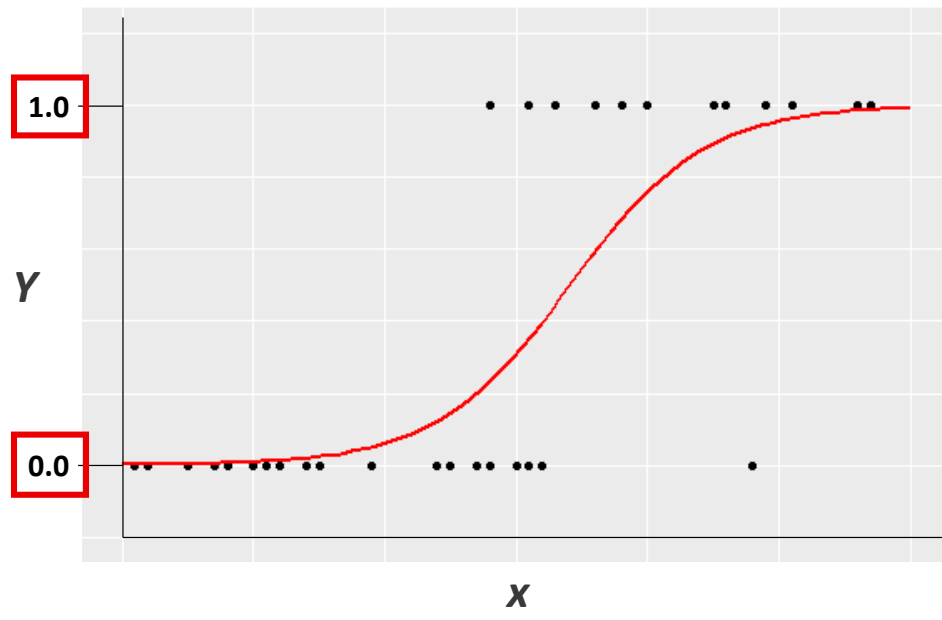
! → **Hypothèse auxiliaire forte**



Données binaires : modèle canonique: GLM

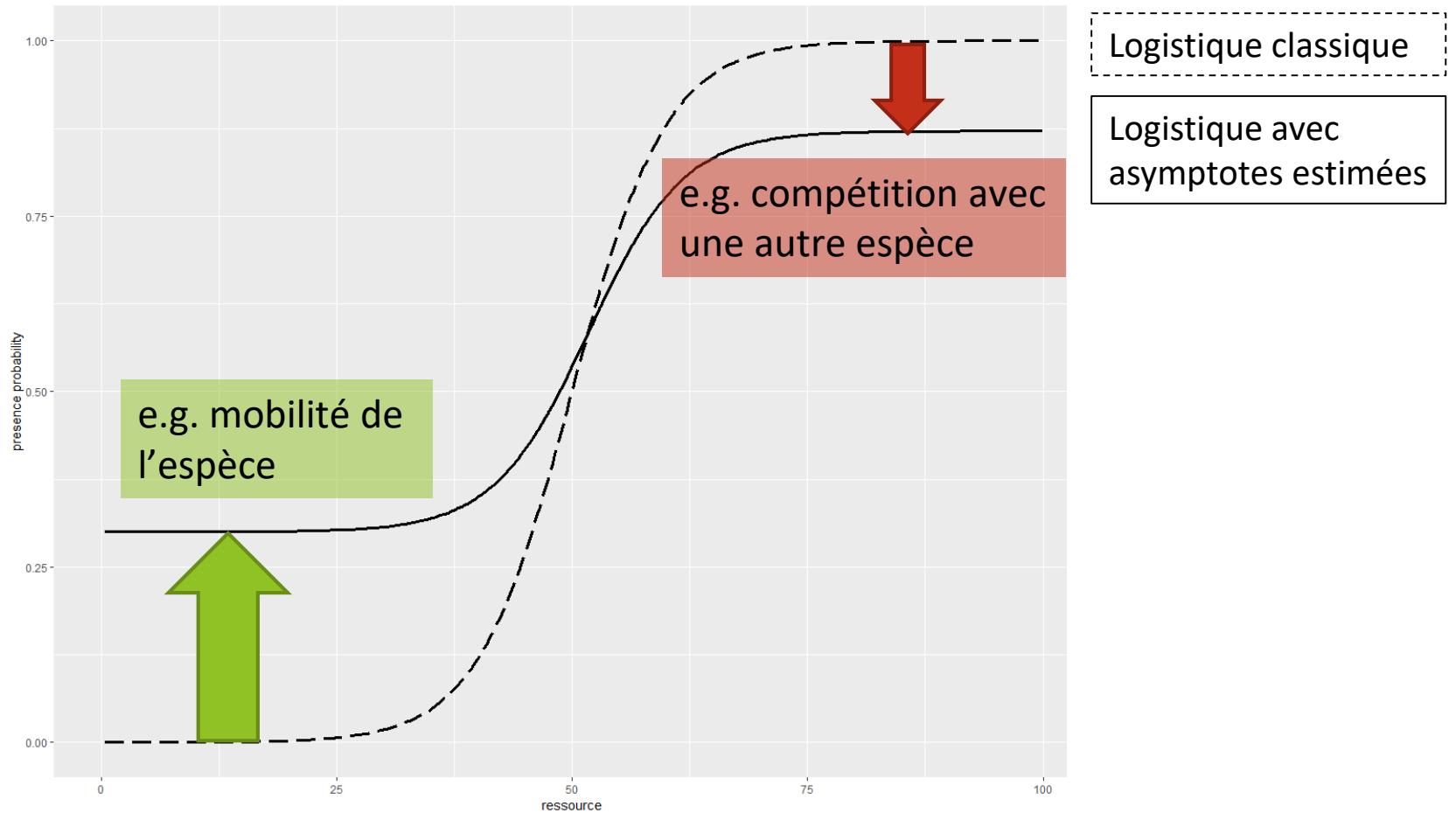
- Approche de référence: GLM avec distribution de Bernoulli
- Logit: Fonction de lien canonique → issue de l'extension du modèle linéaire (LM)
- Inverse logit → logistique classique
- Asymptote basse = 0
- Asymptote haute = 1

 → **Hypothèse auxiliaire forte**



↪ Test par simulations des impacts de cette hypothèse auxiliaire

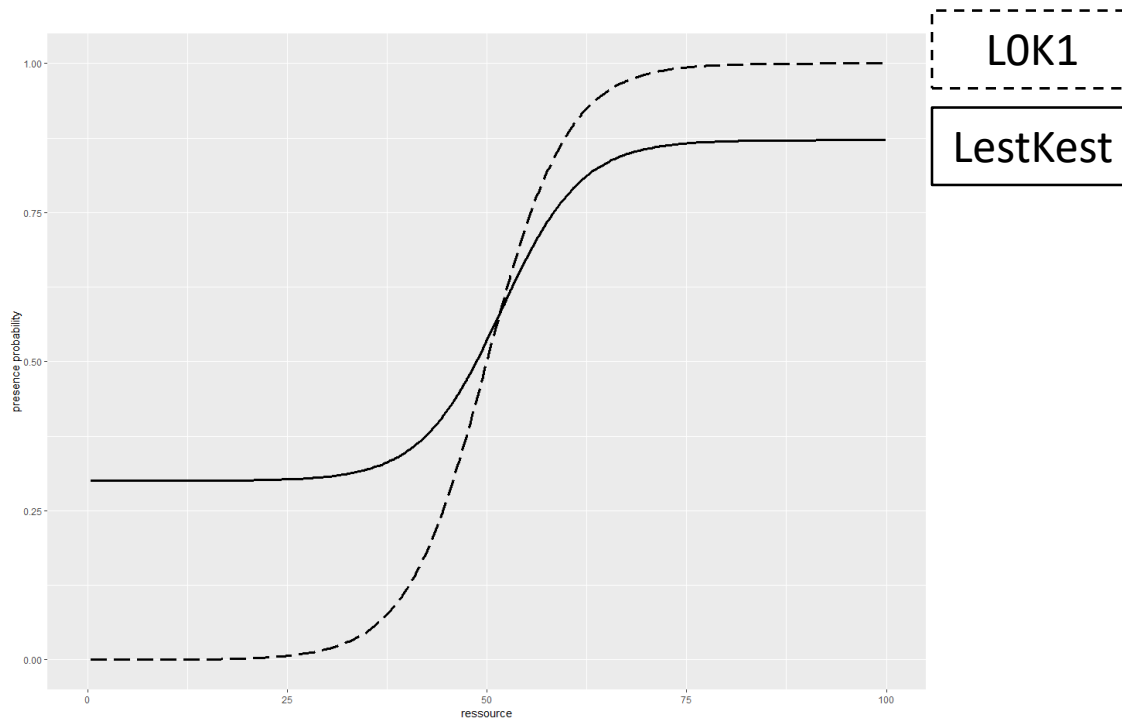
SDM: exemple de mécanismes





Modèles étudiés

- ❑ LOK1 : Logistique classique (asymptotes = 0 et 1)
- ❑ LestKest : Logistique ELUA (“estimated lower and upper asymptotes”)
- ❑ GAM : semi-paramétrique



TMB R-package



Données simulées

3 Scénarios univariés :

- 2 Scénarios : 10,000 jeux de données
- 1 Scénario (VarRand) : 1,000 jeux de données

Paramètres fixes :

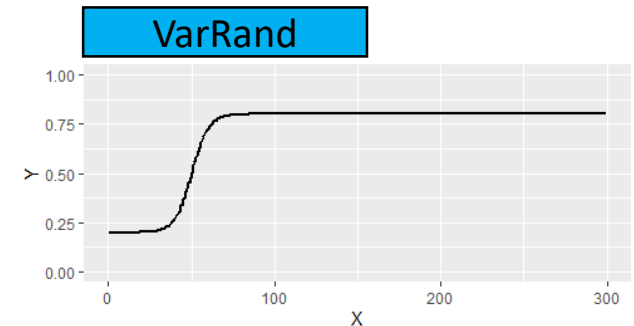
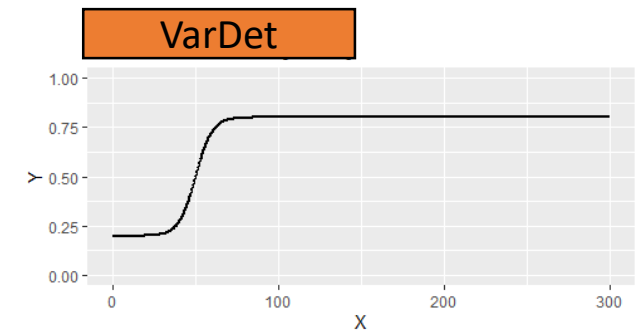
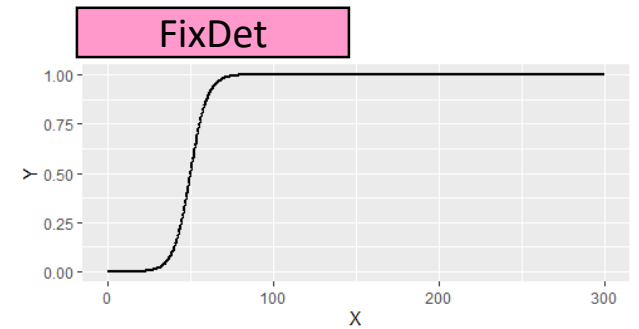
- **ip** (point d'inflexion) = 50
- **sl** (pente) = 0.2

Paramètres variables entre Scénarios :

- **FixDet** : asymptotes fixées à 0 et 1
- **VarDet** : asymptotes variables
- **VarAléa** : asymptotes variables et données aléatoirement distribuées sur le gradient

Paramètres variables entre datasets au sein d'un Scénario :

- **Nobs** variable (entre ≈ 403 et ≈ 2981)
- **L et K** aléatoires dans les gammes définies



$$NSL \text{ (pente normalisée)} = sl * (K - L)$$



Analyse des simulations

- **AICc (critère d'information d'Akaike corrigé) :**
 - plus faible AICc → meilleure capacité prédictive du modèle
 - différence de moins de 2,0 points → les modèles sont équivalents

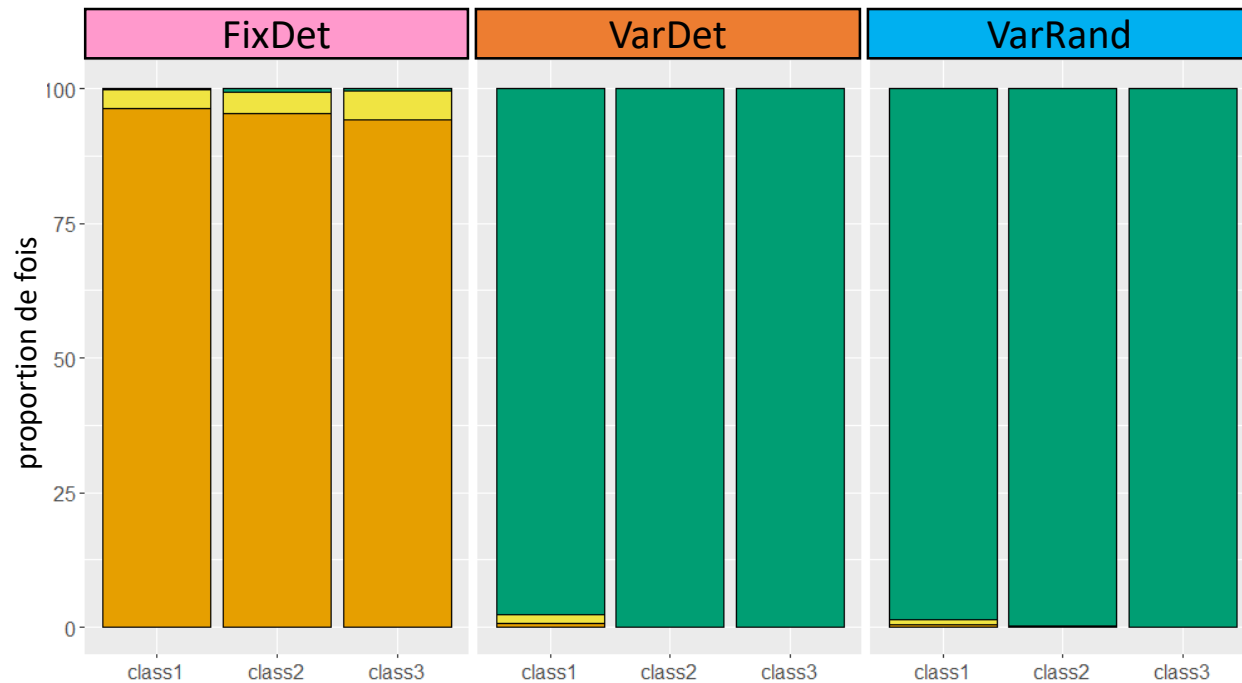
Paramètre d'intérêt majeur : **pente** (donne la magnitude de la relation)

- Estimation du paramètre :
 - comparaison de la précision de l'estimation entre les modèles (précision)
 - comparaison avec le paramètre réel (biais)



Comparaison AICc : LestKest / LOK1

Modèles univariés



■ AICc LestKest < AICc GAM
■ AICc LestKest = AICc GAM
■ AICc LestKest > AICc GAM

Classe 1 : nobs ∈ [147;1092]
 Classe 2 : nobs ∈]1092;2037]
 Classe 3 : nobs ∈]2037;2982]

LestKest **mieux** que LOK1

Sauf lorsque :

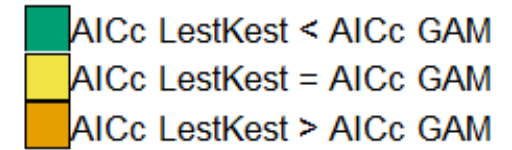
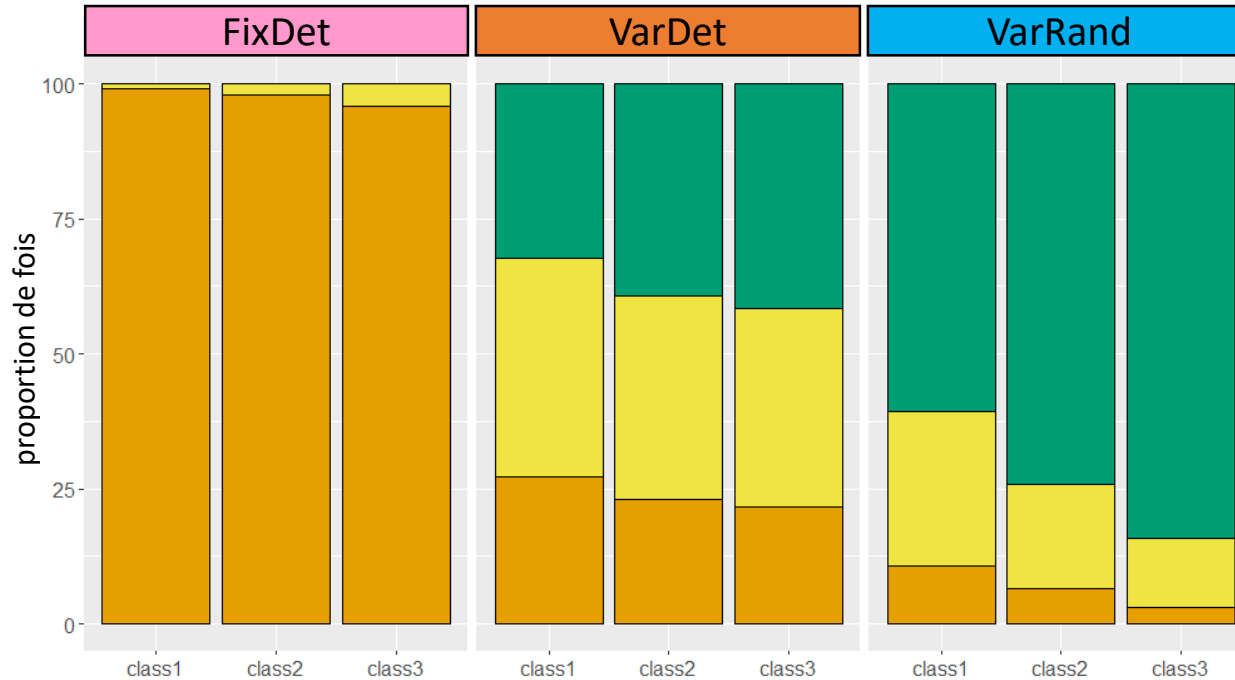
- les asymptotes sont égales à 0 et 1 dans les données (Scénario FixDet)

La proportion de cas où LestKest est mieux que LOK1 augmente avec le nombre d'observations (nobs)



Comparaison AICc : LestKest / GAM

Modèles univariés



Classe 1 : nobs \in [147;1092]
 Classe 2 : nobs \in]1092;2037]
 Classe 3 : nobs \in]2037;2982]

GAM mieux ou equivalent à LestKest

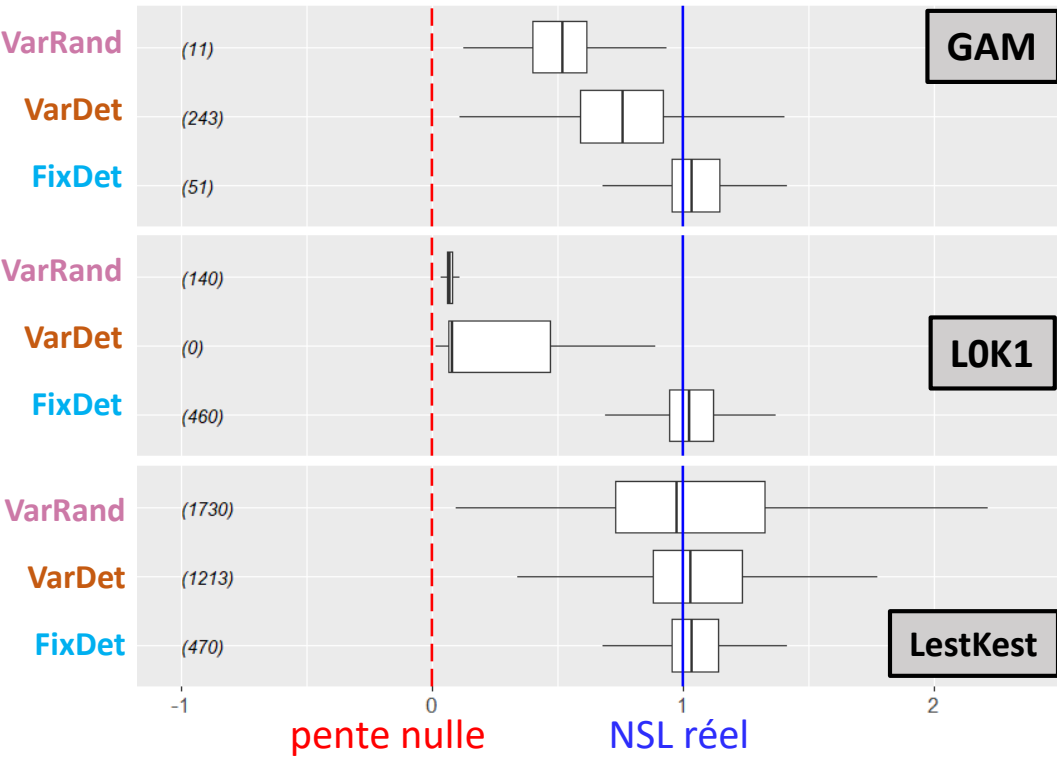
Sauf lorsque :

- les données sont aléatoirement réparties sur le gradient (Scénario VarRand)

La proportion de cas où LestKest est mieux que GAM augmente avec le nombre d'observations (nobs)

Estimation: Paramètre NSL (réel / estimé)

Modèles univariés



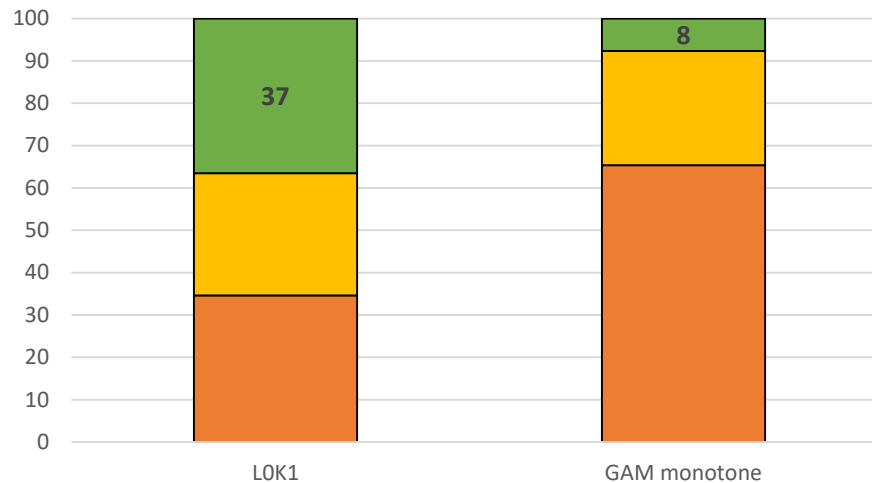
Estimation de la pente : LestKest **moins biaisé** que LOK1 et que GAM
→ PENTE SOUS-ESTIMEE

- Surtout lorsque :
- les données sont aléatoirement réparties sur le gradient (VarRand)
- Sauf lorsque :
- les asymptotes sont égales à 0 et 1 dans les données (FixDet)

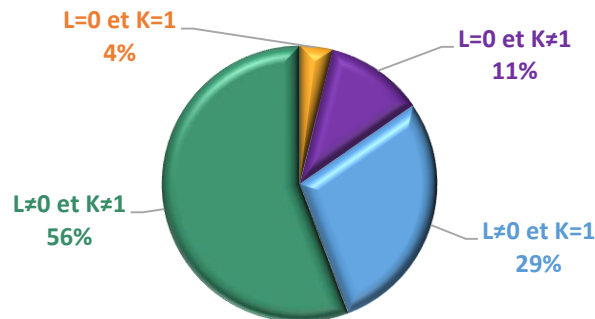


Données réelles multiples

- 52 jeux de données de ≈ 15 domaines scientifiques



■ modèle meilleur que LestKest
 ■ modèle équivalent à LestKest
 ■ modèle moins bien que LestKest



$K \neq 1$ si $K \leq 0,99$
 $L \neq 0$ si $L \geq 0,01$



Données réelles SDM (pres/abs)

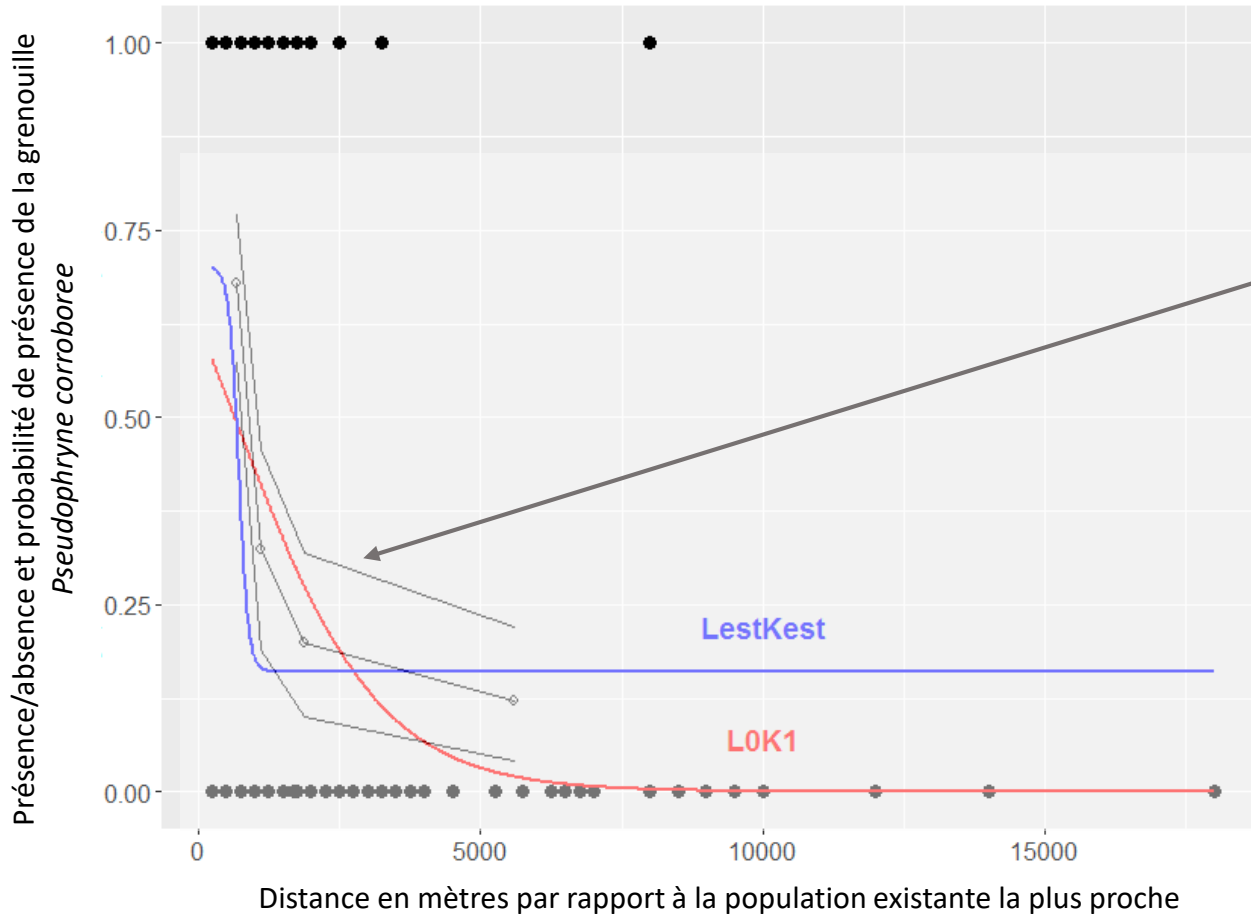
- Exemple sur un jeu de données : Présence/absence de la grenouille *Pseudophryne corroboree*

		LOK1	GAM (monotone)	LestKest
Univarié	Variable explicative	Distance en mètres par rapport à la population existante la plus proche		
	AICc	244.80	235.05	235.15
	L estimé			$L = 0.16 \pm 0.036$
	K estimé			$K = 0.70 \pm 0.085$



Données réelles SDM (pres/abs)

- Exemple sur un jeu de données : Présence/absence de l'amphibien *Pseudophryne corroboree* (212 observations)



Centiles des valeurs de présence / absence de sur la base d'une approximation normale (médiane et intervalle de confiance à 95%, cf. Harrell, 2001)

Si au moins une des deux asymptotes est atteinte ET différente de **0** ou **1**, alors :

- GLM canonique (LOK1) → Mauvaises capacité prédictive et estimation de la pente
- GAM canonique → Mauvaises capacité prédictive et estimation des paramètres sur un gradient aléatoire (et en bivarié)
- Modèle ELUA (LestKest) → Corrige ces problèmes
- Modèle LestKest à stabiliser (stabilité numérique notamment)

Proposition que la fonction ELUA soit intégrée à la trousse à outils de l'analyse des données binaires

➤ Merci pour votre attention



Des questions ?

*Godeau, U. & Gosselin, F. (Soumis). GLM for Generalized Linear Misleading?
The need for a logistic function with estimated asymptotes to complement
canonical logit link functions for binomial GLMs*



- Godeau, U., Bouget, C., Piffady, J., Pozzi, T., Gosselin, F., In Press. Lack of definition of mathematical terms in ecology: The case of the sigmoid class of functions in macro-ecology. *Ecology & Evolution*.
- Godeau, U., Bouget, C., Piffady, J., Pozzi, T., Gosselin, F., 2020. The importance of being random! Taking full account of random effects in nonlinear sigmoid hierarchical Bayesian models reveals the relationship between deadwood and the species richness of saproxylic beetles. *Forest Ecology and Management* 465, 118064.



- Harrell, F. E. Jr., 2001. *Regression Modeling Strategies*, ed. Springer-Verlag New York, New York.
- Huisman, J., H. Olff, and L. F. M. Fresco. 1993b. A Hierarchical Set of Models for Species Response Analysis. *Journal of Vegetation Science*, 4(1):37–46.
- Jansen, F. and Oksanen, J. (2013) ‘How to model species responses along ecological gradients - Huisman-Olff-Fresco models revisited’, *Journal of Vegetation Science*. Edited by J. Podani, 24(6):1108–1117.
- Mackay, A. W. *et al.* (2006) ‘Assessing the vulnerability of endemic diatom species in Lake Baikal to predicted future climate change: a multivariate approach’, *Global Change Biology*, 12(12), pp. 2297–2315. Suchrow, S. and Jensen, K. (2010) ‘Plant Species Responses to an Elevational Gradient in German North Sea Salt Marshes’, *Wetlands*, 30(4):735–746.
- Oksanen, J. and Minchin, P. R. (2002) ‘Continuum theory revisited: What shape are species responses along ecological gradients?’, *Ecological Modelling*, 157(2):119–129.
- Michaelis, J., Pannek, A. and Diekmann, M. (2016) ‘Soil pH limits of forest vascular plants determine range size and threat level’, *Journal of Vegetation Science*. Edited by S. Roxburgh, 27(3):535–544
- Richard, E. (2004) *Réponse des communautés de coléoptères carabiques à la conservation en futaie régulière de chêne : aspects écologique et méthodologiques.*
- Savić, A. *et al.* (2020) ‘Assessing environmental response of gastropod species in karst springs: what species response curves say us about niche characteristic and extinction risk?’, *Biodiversity and Conservation*, 29(3):695–708.

8 Scenarios univariés :

- Scénarios 1 à 7 : 10,000 jeux de données
- Scénario 8 : 1,000 jeux de données

Paramètres fixes :

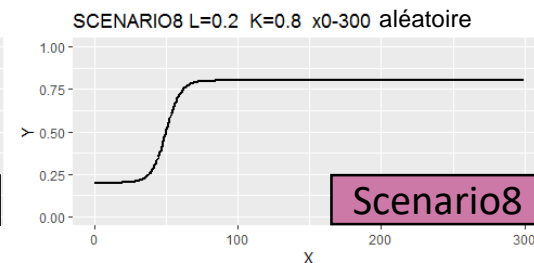
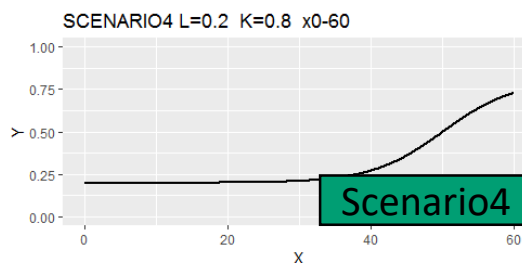
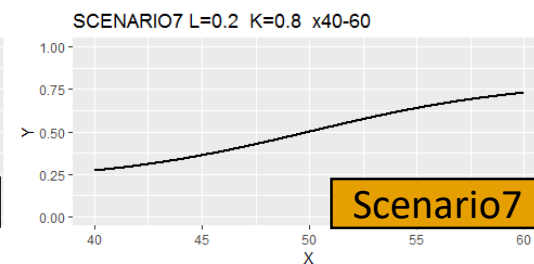
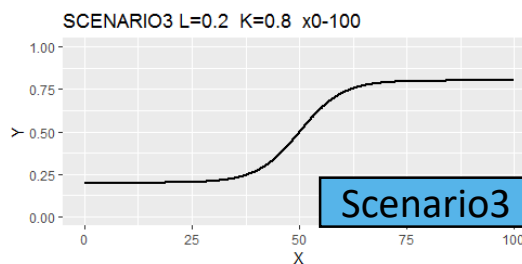
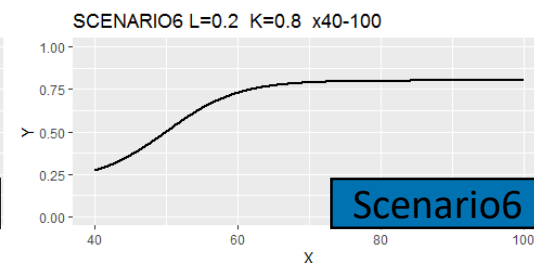
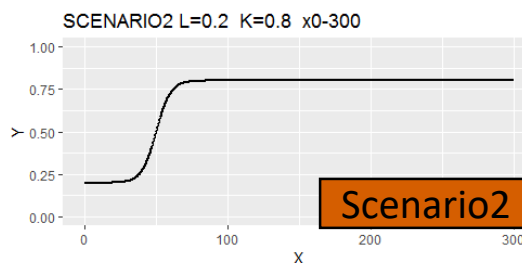
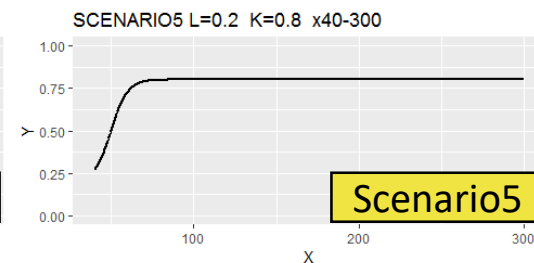
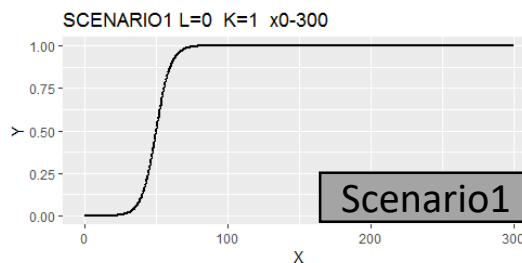
- **ip** (point d'inflexion) = 50
- **sl** (pente) = 0.2

Paramètres variables entre Scénarios :

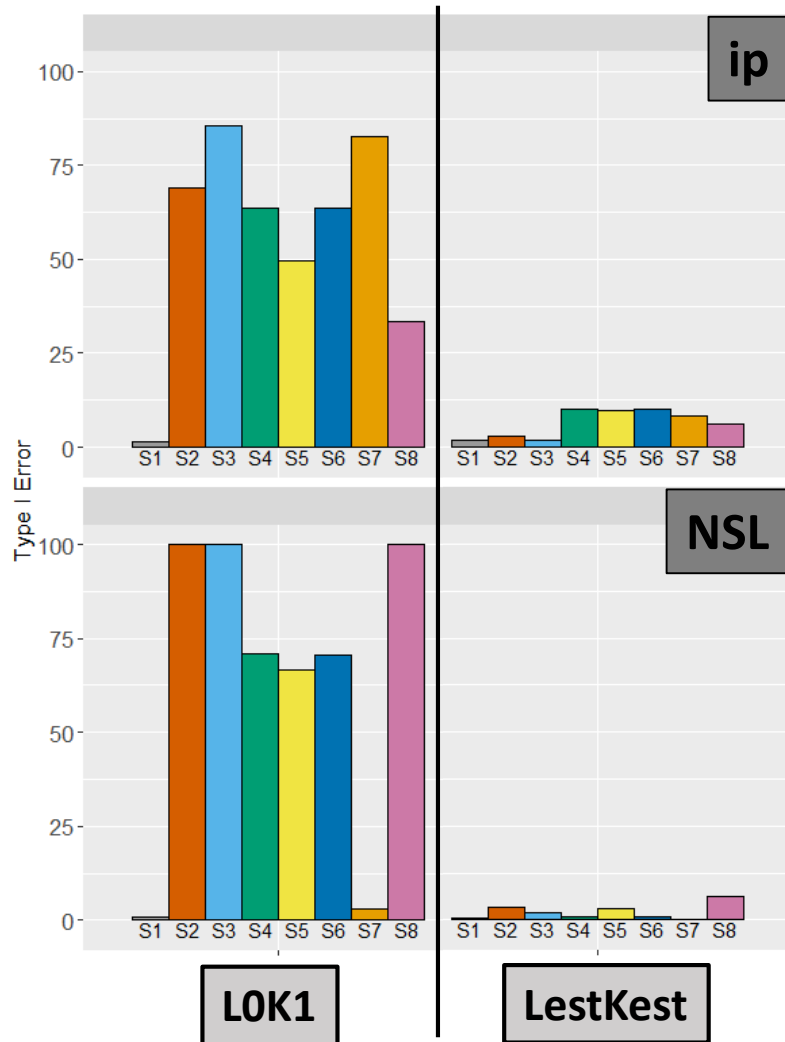
- gamme de variabilité de l'asymptote haute **K**
- gamme de variabilité de l'asymptote basse **L**
- gradient de **X**

Paramètres variables entre datasets au sein d'un Scénario :

- **Nobs** variable (entre ≈ 403 et ≈ 2981)
- **L et K** aléatoires dans les gammes définies pour le Scénario



NSL (pente normalisée) = $sl * (K - L)$

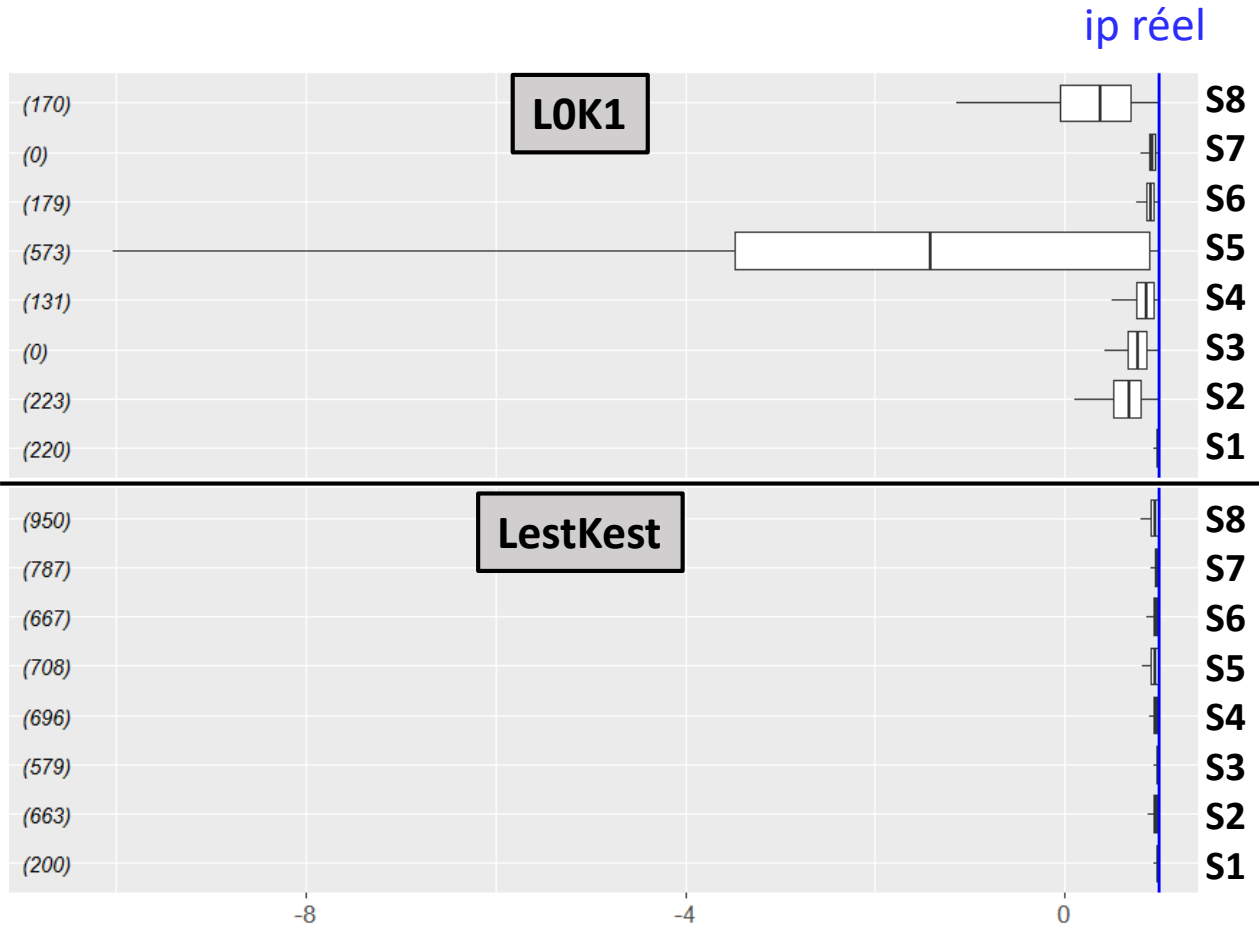


Erreur de type I de LestKest beaucoup plus faible que LOK1 pour ip et NSL

Erreur de type I LestKest pour ip reste trop élevée

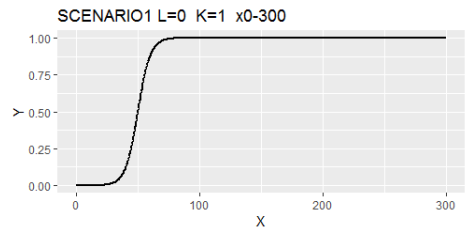


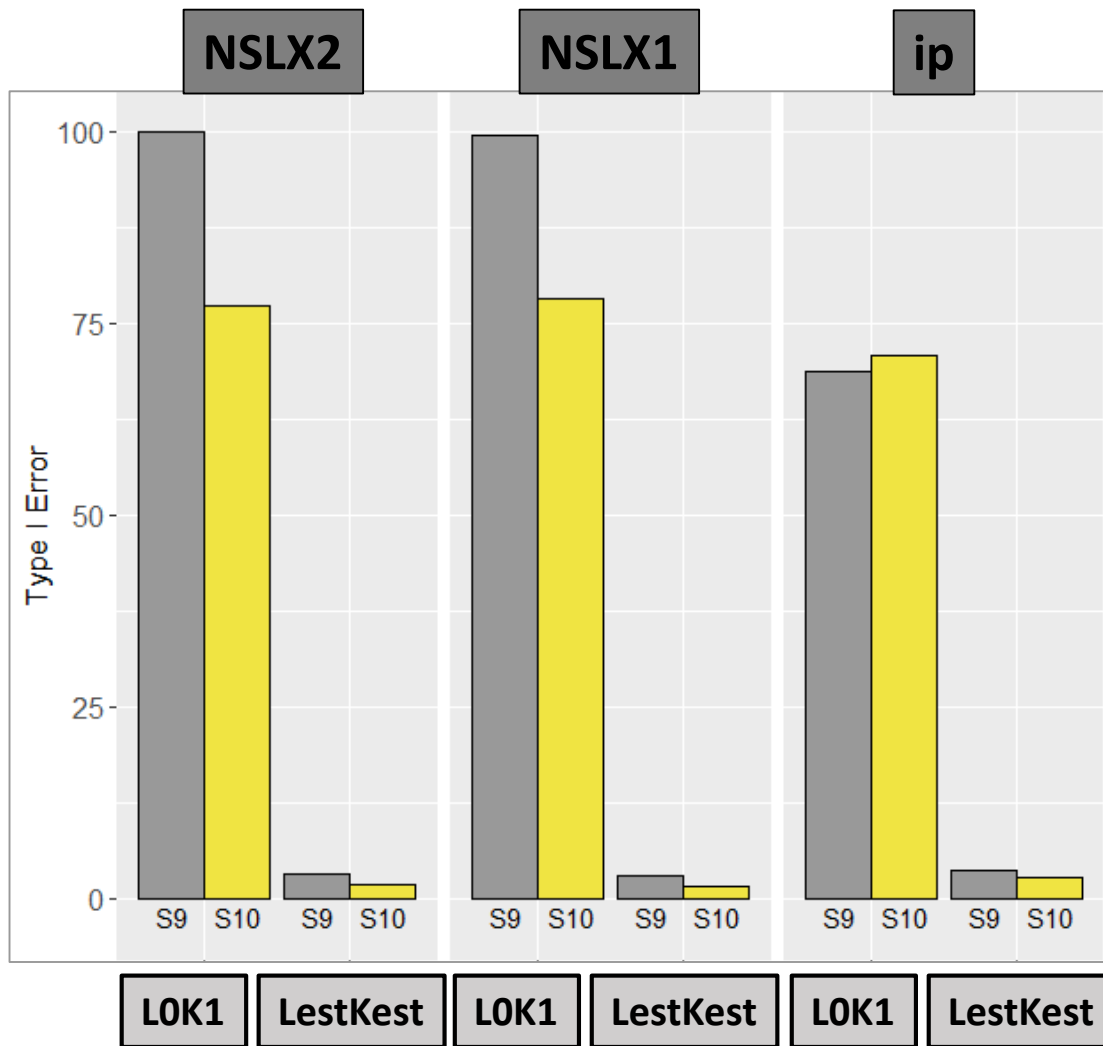
ip estimé / ip réel



Estimation de ip :
LestKest **moins biaisé**
et plus **précis** que LOK1

Sauf S1, LestKest et LOL1 équivalents



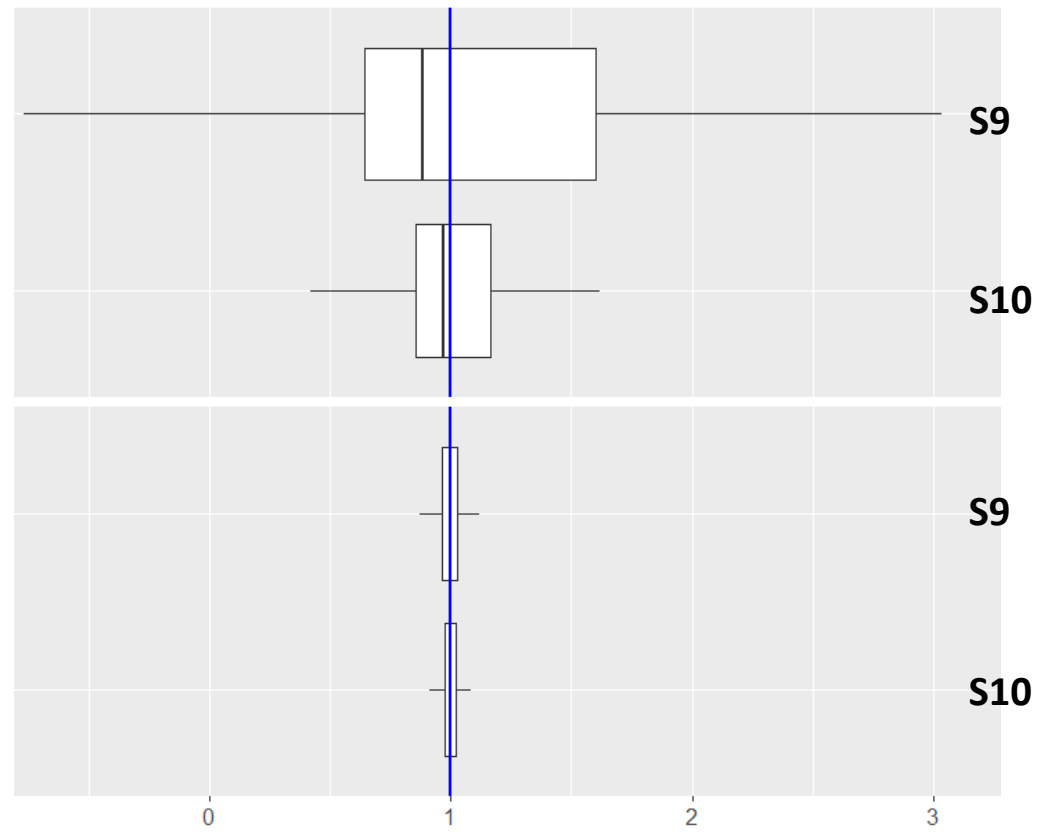


Beaucoup **moins** d'erreur de type I que LOK1 pour ip, NSLX1 et NSLX2 pour LestKest



ip estimé / ip réel

LOK1



Estimation de ip :
LestKest moins **biaisé**
et plus **précis** que LOK1